

УДК 621.371.361

## РАССЕЯНИЕ РАДИОВОЛН МИЛЛИМЕТРОВОГО ДИАПАЗОНА НА СТИМУЛИРОВАННЫХ ЛАЗЕРНЫМ ИМПУЛЬСОМ РАЗРЯДАХ В ЗАПЫЛЕННОЙ АТМОСФЕРЕ

*А. Г. Кисляков, В. А. Канаков, Ю. М. Сорокин, С. Е. Финкельштейн*

Проведено сравнение интегрального поглощения миллиметровых радиоволн в атмосферных газах на приземной и наклонной, с рассеивателем, трассах. Экспериментально исследованы свойства рассеяния миллиметровых радиоволн плазменного ореола оптического разряда в атмосферной аэрозоли. Показана возможность применения в данном диапазоне оптического разряда в качестве ретранслятора в линиях связи на расстояние до 40 км.

Возможность создания сверхширокополосных устойчивых каналов связи с высокой степенью помехозащищенности и скрытности стимулирует развитие техники миллиметрового и субмиллиметрового диапазонов. Одним из факторов, ограничивающих применение таких систем, является сильное поглощение радиоволн атмосферными газами. Так как коэффициент поглощения в газах быстро убывает с высотой, имеет смысл оценить эффективность использования наклонных трасс с искусственными пассивными отражателями.

Одним из вариантов создания искусственных рассеивателей является стимуляция мощным лазерным импульсом в атмосферной аэрозоли коллектического оптического разряда (КОР), имеющего достаточно высокую степень ионизации. Выпускаемые промышленностью лазерные системы позволяют создавать такой разряд в искусственно запыленной атмосфере на высоте порядка ста метров [1, 2], что увеличивает дальность радиогоризонта до 40 км. Сравнением энергетического потенциала наклонной и приземной трасс заданной конфигурации можно определить требования к эффективному коэффициенту рассеяния КОР. Ниже приводится сопоставление полученных таким образом оценок с экспериментально измеренными характеристиками рассеяния КОР в миллиметровом диапазоне.

1. Распространение радиоволн на трассе с отражателем при сильном молекулярном поглощении. Молекулярное поглощение атмосферы в области "окон прозрачности" (т. е. интервалах длин волн между линиями резонансного поглощения) существенно зависит от высоты над поверхностью Земли  $h$ :

$$\alpha(h) = \sum_i \alpha_{i0} \exp(-h/H_i), \quad (1)$$

где  $\alpha_{i0}$  - коэффициент погонного ослабления на уровне моря ( $h = 0$ ), а  $H_i$  - эффективная высота для атмосферного газа  $i$ . При расчетах поглощения на приземных трассах обычно достаточно учесть ослабление в двух компонентах атмосферы  $O_2$  и  $H_2O$ , а вблизи резонансов можно ограничиться рассмотрением одного газа. Тогда (1) примет вид

$$\alpha(h) = \alpha_0 \exp(-h/H). \quad (2)$$

Рассмотрим две трассы в приземном слое воздуха: параллельную поверхности Земли на высоте  $h_0$  и наклонную (с отражателем) при высоте отражателя  $h$  (рис. 1). Положим для определенности, что в п. 1 трассы размещается передающая станция и отражатель создается непосредственно над ней. Если мощность сигнала в передающем пункте  $P_1$ , то на конце горизонтальной трассы длиной  $l$  она уменьшится вследствие поглощения (геометрические эффекты не учитываем) до величины

$$P'_2 = P_1 \exp\left\{-\alpha_0 l e^{-h_0/H}\right\}. \quad (3)$$

Для наклонной трассы можно записать аналогичное соотношение

$$\begin{aligned} P''_2 &= \alpha P_1 \exp\left\{-\sec \theta \int_{h_0}^h \alpha(h) dh\right\} = \\ &= \alpha P_1 \exp\left\{-\alpha_0 H \sec \theta \left(e^{-h_0/H} - e^{-h/H}\right)\right\}, \end{aligned} \quad (4)$$

где коэффициентом  $\alpha < 1$  учитывается ослабление радиоволн вследствие рассеяния на отражателе. При выводе (4) пренебрегается поглощением сигнала на вертикальном участке трассы. Исследуя отношение  $P'_2 / P''_2$ , можно определить условия, при которых наклонная трасса с отражателем оказывается эффективнее трассы с прямой видимостью. Используя (3) и (4), из неравенства  $(P'_2 / P''_2) < 1$  получаем выражение

$$a + \operatorname{cosec} \theta \{1 - \exp[-(x - x_0)]\} / (x - x_0) < 1, \quad (5)$$

где

$$x = h/H, \quad x_0 = h_0/H, \quad a = k \exp(x_0) / \alpha_0 l, \quad k = -\ln \alpha.$$

Анализ неравенства (5) показывает, что наклонная трасса с отражателем действительно может быть эффективней горизонтальной.

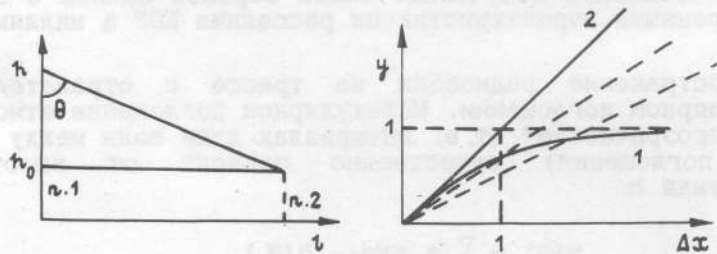


Рис. 1.2.

Рассмотрим частный случай. Допустим, что высота отражателя над линией прямой видимости  $\Delta h = (h - h_0) \ll H$ . В этом случае  $\operatorname{cosec} \theta \approx 1$  и неравенство (5) дает условие достаточно малого ослабления сигнала при рассеянии на отражателе:

$$k < (\Delta h / 2H) \alpha_0 l \exp(-x_0). \quad (6)$$

Формула (6) получена путем разложения в ряд экспоненты в (5) по

малому  $\Delta h/H$ , при этом оставлены члены со степенью не выше 2. Физический смысл неравенства (6) заключается в том, что коэффициент ослабления сигнала при рассеянии должен быть достаточно мал по сравнению с коэффициентом поглощения на горизонтальной трассе. Фактором малости служит отношение  $\Delta h/2H$ .

Неравенство (6) сравнительно легко может быть удовлетворено при  $x_0 = 0$  (приземная трасса) в субмиллиметровом диапазоне длии волн. Например, при  $\lambda = 0,87$  мм коэффициент поглощения радиоволны в  $H_2O$  составляет в летнее время  $a_0 \approx 3,6$  Нп/км [3], а величина  $H \approx 1,5$  км [4]. Если длина трассы  $l = 10$  км, а  $\Delta h = 300$  м, то необходимо удовлетворить условию  $k < 3,6$ , т. е. ослабление из-за рассеяния должно быть меньше 15,6 дБ. Очевидно, что "запас" по коэффициенту  $k$  определяет разницу в ослаблениях на наклонной и горизонтальной трассах.

В общем случае неравенство (5) можно преобразовать к виду

$$1 - \exp(-\Delta x) < (1 - a)\Delta x, \quad (7)$$

где  $\Delta x = x - x_0$ . При выводе (7) учитывалось, что практически интересен случай  $l \gg \Delta h$ , так как высоту отражателя над линией прямой видимости не имеет смысла делать очень большой по сравнению с величиной  $H \approx 1,5$  км. В этом случае можно определить области, где выполняется неравенство (5), по графикам рис. 2. Очевидно, что эта область находится справа от точки пересечения кривой 1 с прямой 2. Чем меньше параметр  $a$ , тем ближе точка пересечения к началу координат. Если  $a = 0$ , то неравенство (7) удовлетворяется при любом  $\Delta x$ .

2. Экспериментальные исследования КОР в миллиметровом диапазоне. Для того чтобы оценить возможность использования плазменного ореола оптического разряда в качестве пассивного ретранслятора, был проведен ряд лабораторных экспериментов по определению максимальных размеров ( $d_{max}$ ), коэффициента отражения ( $r$ ) и времени существования ореола.

Инициирование КОР осуществлялось фокусировкой импульсного излучения ОКГ ГОС 1001 ( $\lambda = 1,06$  мкм,  $\tau_i = 1$  мс,  $W_i \leq 400$  Дж) в плотной струе частиц карбида бора ( $B_4C$ ). Зондирование объекта проводилось на длинах волн 2,4 и 8 мм. Использовались генераторы модулированного излучения на ЛОВ мощностью до 10 МВт. Для измерения радиояркостной температуры ( $T_y$ ) применялись радиометры компенсационного типа с полосой пропускания выходного каскада 100 кГц и чувствительностью  $\Delta T_{min} = 20 + 30$  К. Эксперименты по двухпозиционному рассеянию проводились с помощью наборов детекторных секций с чувствительностью не хуже  $10^{-7}$  Вт. В качестве антенн использовались пирамидальные рупоры различных сечений от  $20 \times 20$  до  $70 \times 70$  мм<sup>2</sup>. В процессе исследований варьировались размеры и концентрация аэрозольных частиц, мощность лазерного импульса и проводилось сопоставление полученных значений электронных концентраций ( $N_e$ ) и температур с данными ранее проведенных оптическими методами экспериментов:  $N_e^{max} = 10^{17}$  см<sup>-3</sup>,  $T_{kin} = 1,3 \cdot 10^4$  К [5].

На длинах волн 2 и 8 мм были проведены синхронные измерения динамики размера области закритической концентрации электронов ( $N_{e,kr}^{(8)} = 1,74 \cdot 10^{13}$  см<sup>-3</sup>,  $N_{e,kr}^{(2)} = 2,79 \cdot 10^{14}$  см<sup>-3</sup>) и радиояркостной

температуры,  $T_y$ , КОР [6]. Размеры КОР оценивались по эффекту экранирования части апертуры приемной антенны, находящейся в зоне геометрии объекта и облучаемой плоской волной удаленным генератором. Величина  $T_y$  определялась по приращению антенной температуры с учетом площади, занимаемой объектом в апертуре приемной антенны. Двухчастотное зондирование позволило судить о динамике градиента  $N_e$  КОР.

На длинах волн 4 и 8 мм проводилось двухпозиционное активное зондирование КОР. Приемные и передающие антенны располагались в зоне геометрии объекта. Варьировались углы зондирования от 15 до 120°, размеры и взаимное расположение антенн. Был проведен эксперимент по рассеянию сигнала КОР на плоской границе, созданной с помощью тонких диэлектрических пластин.

В результате проведенных измерений удалось получить некоторые сведения о плазменном ореоле КОР.

Максимальные размеры плазменного ореола ( $N_e \geq N_{e, \text{кр}}$ ) вдоль лазерного луча определяются протяженностью фокальной области, а в поперечнике в течение первой миллисекунды увеличиваются до 5 - 6 см. На протяжении последующих 6 - 10 мс размеры ореола сохраняются близкими к максимальным, причем градиент  $N_e$  очень велик ( $d_{\max}^{(2)} \approx d_{\max}^{(8)}$ ). Затем наступает стадия релаксации и  $\text{grad } N_e$  и  $d_{\max}$  плавно убывают до нуля за 8 - 10 мс.

Радиояркостная температура поверхности ореола КОР достигает на  $\lambda = 2$  мм  $T_y^{(2)} = 900$  К, на  $\lambda = 8$  мм  $T_y^{(8)} = 470$  К. По данным работы [5] кинетическая температура газа внутри КОР  $T_{\text{кин}} = 1,3 \cdot 10^4$  К, т.е. можно полагать, что в начальной стадии коэффициент поглощения поверхности КОР  $\alpha \leq 0,1$ , и максимальный коэффициент отражения  $r = 1 - \alpha \approx 0,9$ . В продолжении стабильной стадии развития ореола  $T_y$  остается постоянной, затем убывает с характерным временем изменения размеров.

Опыты двухпозиционного зондирования показали, что форма и уровень мощности рассеянного сигнала мало меняются в зависимости от угла зондирования. Это говорит об изотропном характере рассеяния миллиметровых волн исследуемым объектом. Уровень рассеиваемой в заданном направлении мощности имеет несколько (обычно два) минимумов глубиной до - 7 дБ в стабильной стадии ореола, а затем плавно убывает синхронно с геометрическими размерами.

3. Использование КОР для загоризонтного распространения радиоволн при слабом атмосферном поглощении. Полученные результаты показывают, что плазменный ореол КОР может быть использован в качестве пассивного ретранслятора в миллиметровой и длинноволновой части субмиллиметрового диапазона.

Рассмотрим трассу, изображенную на рис. 1, предполагая коэффициент поглощения в газах достаточно малым. Размер фокального пятна, создаваемого передающей антенной на высоте рассеивателя  $h$ , равен

$$\delta \approx 1,2\lambda h/D, \quad (8)$$

где  $D$  - размер апертуры передающей антенны. Протяженность области КОР вдоль лазерного луча обозначим за  $d'$ , тогда облучаемая передатчиком площадь рассеивателя равна

$$S_{\text{рас}} = d''d, \quad (9)$$

где  $d'' = \min\{d', \delta\}$ ,  $d$  - поперечный размер ореола. Выражение для принимаемой в пункте 2 мощности примет вид

$$P_2 = \frac{P_1(d''d)}{(\pi\delta^2/4)} r \frac{1}{4\pi l^2} \frac{G_{\text{пр}}\lambda^2}{4\pi} \alpha, \quad (10)$$

где  $G_{\text{пр}}$  - коэффициент усиления приемной антенны,  $r$  - коэффициент отражения поверхности рассеивателя.

Как указывалось выше, на практике реализована фокусировка мощного лазерного импульса на расстоянии порядка ста метров от ОКГ. При этом размеры области КОР составляют  $d' \approx 1$  м,  $d \approx 0,05$  м. Если лазер, стимулирующий пробой, размещен в непосредственной близости от передающего пункта, высота разряда над уровнем Земли также порядка ста метров. Полагая для передающей антенны  $D/\lambda \approx 1000$ , получим  $\delta \approx 0,1$  м, тогда  $d'' = \delta \approx 0,1$  м,  $S_{\text{рас}} = 5 \cdot 10^{-3} \text{ м}^2$ ,  $\alpha = S_{\text{рас}}/(\pi\delta^2/4) = -14$  дБ.

Для благоприятных метеоусловий: атмосферное давление 760 мм рт. ст., температура воздуха 20°C и влагосодержание 7,5 г/см<sup>3</sup>, коэффициент погонного ослабления в парах воды на длине волны 1,4 мм  $\chi_0 = -1,9$  дБ/км [7]. При этом потери на рассеяние ретранслятором могут быть легко перекрыты за счет резерва энергетического потенциала аппаратуры связи [8] и появляется возможность увеличивать расстояние 1 в пределах расширяющейся зоны прямой видимости.

При неблагоприятных метеоусловиях отсутствует резерв энергетического потенциала аппаратуры, и, несмотря на повышение эффективности наклонной трассы по сравнению с приземной, линии протяженностью более 10 км могут быть реализованы лишь с помощью уникального оборудования.

Таким образом, искусственные плазменные образования, создаваемые в атмосфере воздействием мощного лазерного излучения на аэрозольное облако, имеют достаточную высоту, электронную концентрацию и размеры для использования в качестве пассивных ретрансляторов в линиях связи миллиметрового и субмиллиметрового диапазонов длин волн на расстояния от 10 до 40 км при благоприятных метеоусловиях. Время существования таких объектов порядка 10 мс позволяет применять их в сверхширокополосных системах обмена большими количествами информации, не требующих непрерывной работы.

Для определения метеоусловий, обеспечивающих работоспособность линий связи, необходим дополнительный статистический анализ имеющихся данных о суточных и сезонных вариациях параметров атмосферы, влияющих на распространение радиоволн миллиметровых и субмиллиметровых диапазонов.

Следует отметить, что эффективность плазменного разряда как ретранслятора можно повысить, увеличив его геометрические размеры, высоту расположения и продолжительность существования. Для этого необходимо проведение специальных работ по совершенствованию техники и методов лазерной инициализации атмосферной плазмы.

## ЛИТЕРАТУРА

1. Caressa J.P. et al. //J.Appl.Phys. 1979. V.50. N 11. Pt.1. P.6822.
2. Годлевский А. П., Копытин Ю. Д. //Квантовая электроника. 1982. Т.9. N 6. С.1280.
3. Olich B.L. //Astrophys Lett. 1980. V.91. N 1. P.21.
4. Кисляков А. Г. // Изв. вузов. Радиофизика. 1966. Т.9. N 3. С.451.
5. Кособурд Т. П., Сорокин Ю. М. //ЖТФ. 1988. Т.58. N 7. С.1318.
6. А. с. 1555654 СССР. Способ измерения параметров излучения нестационарных объектов/В. А. Канаков, А. Г. Кисляков, Ю. М. Сорокин, С. Е. Финкельштейн. - Опубл. в Б. И. 1990. N 13.
7. Калинин А. И. Распространение радиоволн на трассах наземных и космических радиолиний. - М.: Связь, 1979. С. 157.
8. Розанов Б. А. //Тезисы докл. II Всесоюзной школы-симпозиума по распространению мм и субмм волн в атмосфере. Фрунзе, 1986. С. 235.

Нижегородский государственный  
университет

Поступила в редакцию  
20 февраля 1991 г.

### MILLIMETRE RADIO WAVE SCATTERING ON THE LASER INDUCED AIR BREAK-DOWN IN ATMOSPHERIC DUST

A. G. Kislyakov, V. A. Kanakov, Yu. M. Sorokin, S. E. Finkel'shtein

Total atmospheric gas absorption of mm radio waves on the near-ground and oblique, with scatterer, traces is compared. The mm radio wave scattering properties of the plasma nimbus of laser induced air break-down in atmospheric aerosol are studied experimentally. It's shown, that laser induced air breakdown is usable as repeater for mm band communication lines extended down to 40 km.